

3.5.3 Ideales Fermigas

Modellsystem für Elektronen im Festkörper u. Atome

Nukleonen im Kern (Proton, Neutron)

Quarks in Nukleonen

flüssiges Helium (^3He)

Vorgabe in kompletter Analogie
zum Bosegas, zunächst zu bestimmen

Frage: Wie sind Tieftemperatoreffekte im Vgl.
zu Bosegas ausgebildet.

(Stadien der Verteilungsfunktion $\rightarrow \mu = \mu(T, u_0)$)

$$f_{\varepsilon_k}^F = \frac{1}{e^{\beta(\varepsilon_k - \mu)} + 1}$$

?

β, ϵ_n , bekannt; μ unbekannt

μ wird bestimmt:

$$\bar{N} = \sum_{k,s} f_{ks}^F = \frac{V}{(2\pi)^3} \int dk \frac{1}{e^{\beta(\epsilon_k - \mu)} + 1}$$

↑ ↑

in Mittel festgelegt zählt gesamt-
 Zählt der
 Teilchen

$$\text{implizite Gleichung für } \mu: \mu = \left(\frac{\bar{N}}{V}, \bar{T} \right)$$

\downarrow
 k_0

Wenn man da aufgestellt und μ .

Was ist das Integral über ϵ darstellen.

$$k \rightarrow \epsilon = \frac{\hbar^2 k^2}{2m}$$

$$d\epsilon = \frac{\hbar^2 k}{2m} dk = \frac{\hbar^2}{2m} \sqrt{\epsilon} \frac{(2m)^{1/2}}{\hbar} dk = \frac{\hbar \sqrt{2}}{\sqrt{m}} \sqrt{\epsilon} dk$$

Spur nach Γ_L

$$n_0 = \frac{2}{(2\pi)^3} 4\pi \int_0^\infty dk k^2 f_{k0}^F$$

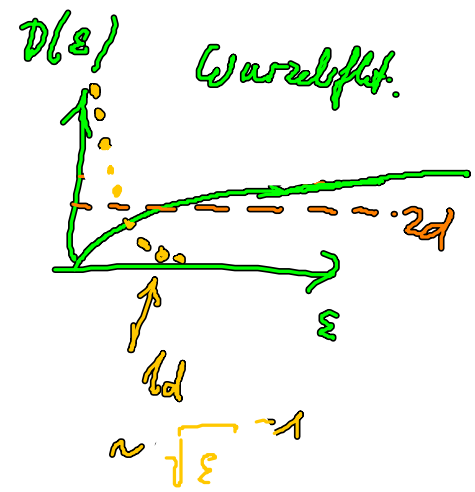
↑ Kugelkoordinat

$$= \frac{1}{\pi^2} \int_0^\infty d\varepsilon \frac{\sqrt{\varepsilon}}{t \sqrt{2}} (\sqrt{\varepsilon})^{-1} \varepsilon \frac{2m}{t^2} f_\varepsilon^F$$

$$u_0 \equiv \int d\varepsilon D(\varepsilon) f_\varepsilon^F$$

$$D(\varepsilon) = \frac{1}{\pi^2} \frac{m^{3/2} \sqrt{2}}{t^3} \sqrt{\varepsilon}$$

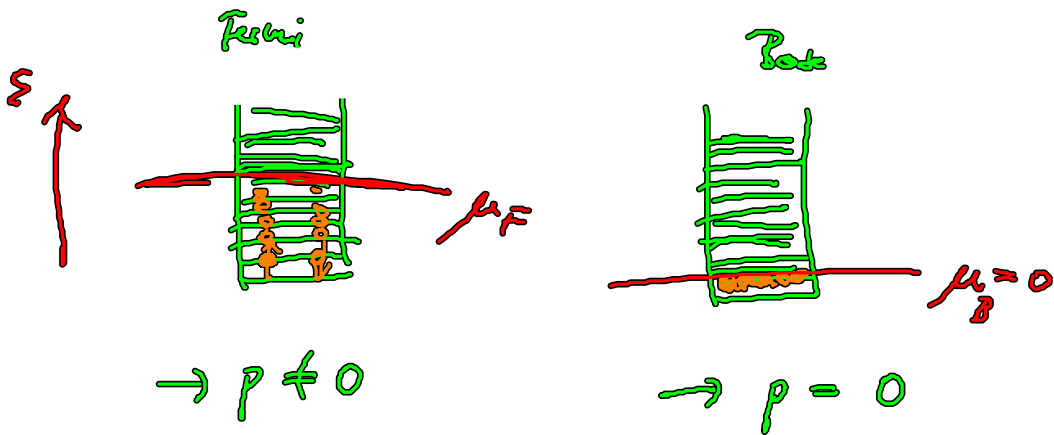
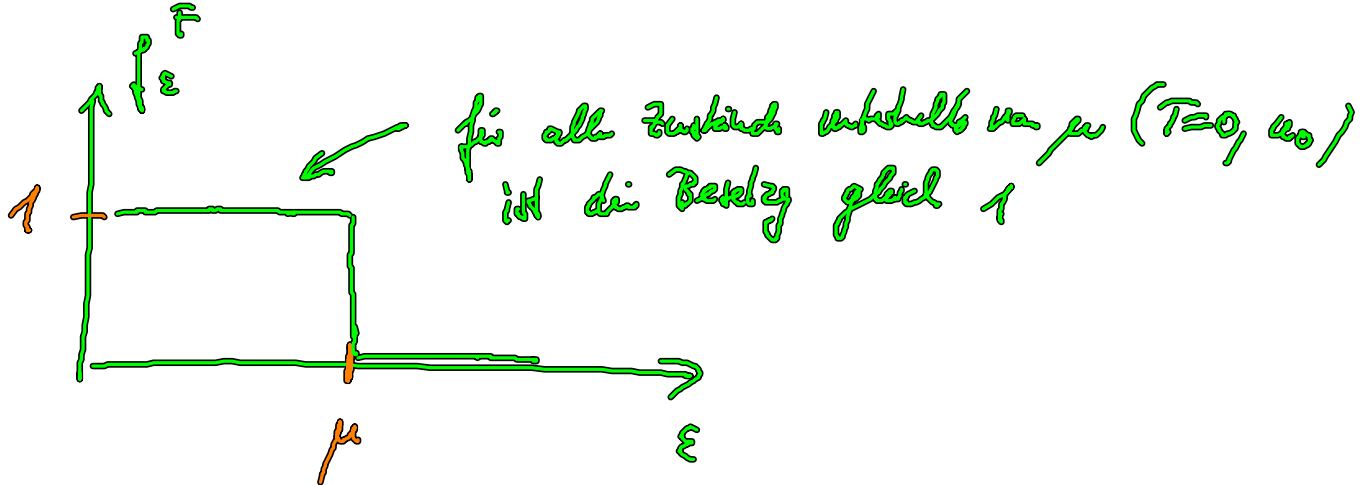
$D(\varepsilon)$ nennt man Zustandsdichte, wird daran erwartet, dass, wenn formal $f_\varepsilon^F = 1$ setzt die Zustände pro E -Niveaus voll zählt und dann alles aufsummiert.



Diskussion f. $T \rightarrow 0$

$$(i) \quad T=0 \quad f_\varepsilon^F = \frac{1}{e^{\beta(\varepsilon-\mu)} + 1} \quad T \rightarrow 0 \quad \beta \rightarrow \infty$$

$$= \begin{cases} \varepsilon < \mu(T=0) : e^{\beta(\varepsilon-\mu)} \rightarrow 0 \Rightarrow f_\varepsilon^F = 1 \\ \varepsilon > \mu(T=0) : e^{\beta(\varepsilon-\mu)} \rightarrow \infty \Rightarrow f_\varepsilon^F = 0 \end{cases}$$



Wie sieht $\mu = \mu(T=0, u_0)$ aus?

$$u_0 = \int_0^{\mu(T=0, u_0)} d\epsilon D(\epsilon) = \int_0^{\mu(T=0, u_0)} d\epsilon \frac{1}{\pi^2} \frac{u^{3/2}}{\frac{t^3}{4}} \sqrt{2} f_\epsilon$$

Durch

ausgeklammert

$$u_0 = \frac{(2u)^{3/2}}{3\pi^2 t^3} \mu^{3/2}(T=0)$$

$$\mu(T=0, u_0) = \varepsilon_F = (3\pi^2)^{2/3} \frac{t^2}{2u} u_0^{2/3}$$

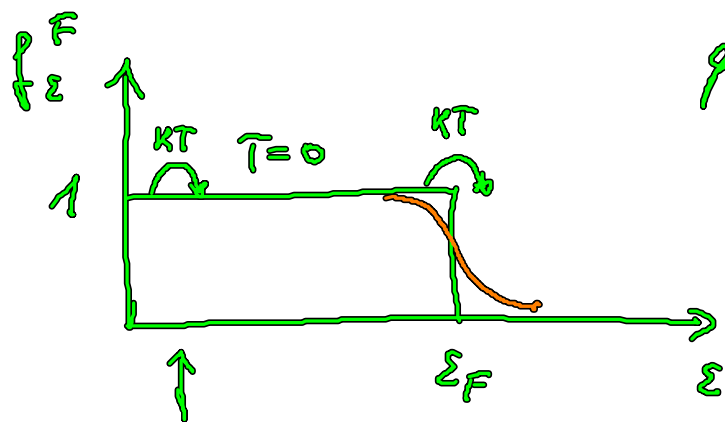
Das dannische Potentiel f . $T=0$

hat die Name "Fermienergie".

Die Fermienergie weicht mit Dichte ρ .

Dann ist $T=0$ Problem gelöst

(ii) Was erwarten wir für etwas höhere Temperaturen, so dass man aber noch nicht klassische Ergebnisse reproduziert.



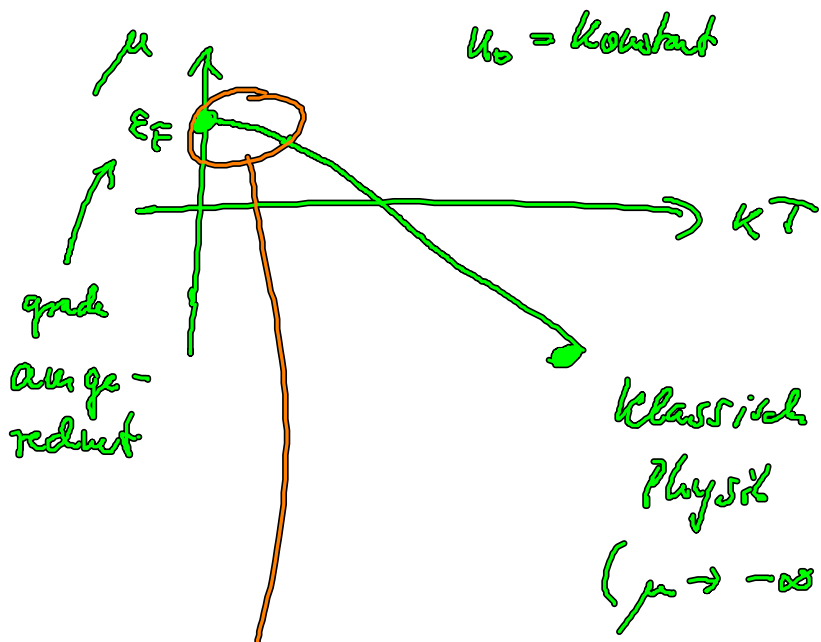
qualitativ!

$kT \neq 0 \rightarrow$ thermische Flugie
Ausbreite der Fermikurve

Wie wird
 kT mit s
ausrechnen
wegen Pauli verbot

Um das zu bedenken muß $\mu = \mu(T \neq 0, q_0)$

bestimmt werden



im Gegensatz zu Boson
kann $\mu \geq 0$ sein
(d.h. $\omega \leq 0$)
wir kein Singulärität
existiert

Vorwand das auszurechnen f. $kT \neq 0$, aber KT

gerade $u_0 = \int_0^\infty d\epsilon D(\epsilon) f_\epsilon^F$ für kleine kT zu schreien.

$$= \int_0^\mu d\epsilon D(\epsilon) \left[\varepsilon^F + \int_\varepsilon^\infty d\epsilon D(\epsilon) f_\epsilon^F \right]$$

$$= \int_\mu^\infty d\epsilon D(\epsilon) \left[\varepsilon^F + \int_0^\mu d\epsilon D(\epsilon) \left(1 - \frac{1}{e^{-\beta(\epsilon) \omega}} + 1 \right) F \right]$$

$$= \int_0^\mu d\varepsilon D(\varepsilon) + \int_0^\infty \frac{dx}{\beta} \frac{D(\mu + x/\beta)}{e^{x+1}} - \int_0^\infty \frac{dx}{\beta} \frac{D(\mu - x/\beta)}{e^{x+1}}$$

Te

Integralsubstitution: $x = \beta(\varepsilon - \mu)$

$$x = -\beta(\mu - \varepsilon)$$

$$\beta \rightarrow \infty$$

$$u_0 = \int_0^\mu d\varepsilon D(\varepsilon) + 0 + \int_0^\infty \frac{dx}{\beta} \frac{D'(\mu)}{e^{x+1}} \frac{x}{\beta} \cdot 2$$

f. $\beta \rightarrow \infty$ ist
 Grenze und
 $\frac{x}{\beta} \rightarrow 0$.

1. Order Taylor
 1. Ordn. Taylor
 1. Ordn. Taylor
 1. Ordn. Taylor

$$u_0 = \int_0^\mu d\varepsilon D(\varepsilon) + \frac{2}{\beta^2} D'(\mu) \frac{\bar{u}^2}{12}$$

↓

$D'(\varepsilon) \approx$
 $(\Gamma_\varepsilon)'$

\times -Integrab
nachfolgen

$$u_0 = a \int_0^\mu d\varepsilon \sqrt{\varepsilon} + \frac{\bar{u}^2 (kT)^2}{6} \frac{a}{2\sqrt{\mu}}$$

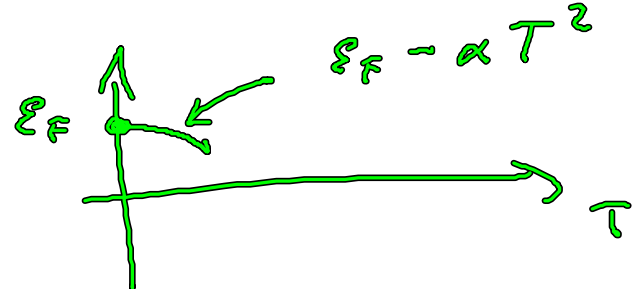
↓
 Vorfaktor
 (a, \bar{u}, \dots)

$$\left(\frac{2a}{3}\right) \varepsilon_F^{3/2} = \frac{2a}{3} \mu^{3/2} + \frac{\bar{u}^2 (kT)^2}{6} \frac{a}{2\sqrt{\mu}}$$

implizite Auflg. f. $\mu \approx \varepsilon_F + \delta\mu$

$$\rightarrow \delta\mu = -\varepsilon_F \left(\frac{\bar{u}^2 (kT)^2}{12} \frac{1}{\varepsilon_F^{1/2}} \right)$$

$$\mu = \varepsilon_F \left(1 - \frac{\bar{u}^2 (kT)^2}{12} \frac{1}{\varepsilon_F^{1/2}} \right)$$



Bemerkung

- deutisches Potenzial bei Fermionen kann positiv / negativ sein
- spezifische Wärme C_V eines Elektronengases

$$C_V = \left. \frac{\partial E}{\partial T} \right|_V = \frac{\pi^3}{3} D(\varepsilon_F) T \sim T$$

Wir braucht E , kann man auch $\propto \bar{N}$ für $T \rightarrow 0$ anrechnen
 $E = \sum_{k,s} \varepsilon_k f_{ks}^F$ $D(\varepsilon) \rightarrow \varepsilon D(\varepsilon)$
 ↑ ohne ε wäre das $\bar{N}(u_0)$
 da wir gerade benötigt
 haben.

Aus der Bedingung für u_0 , und $D(\varepsilon) \rightarrow \varepsilon D(\varepsilon)$

bekommt man wieder $u_0 \sim E \sim T^2$.

→ Die spezifische Wärme eines Elektronengases

für $T \rightarrow 0$ ist proportional zu T .

Festkörper insgesamt: $C_V \sim C_1 T + C_2 T^3$

Elektronen	Phononen
\nearrow	\nearrow
(anpro Katom)	(gewichtet f. Höhe T)

c) Druck und Zustandsgleichung:

$$P = \underbrace{(2) \frac{2}{3} \frac{E}{V}}_{\text{leicht VL}} = \frac{4}{3} \int_0^{E_F} d\varepsilon \varepsilon D(\varepsilon) \sim E_F^{5/2} \quad (\hat{u} \text{K})$$

Druck und Energie verschwindet bei $T=0$.

Folge d. Pauli-verbots, da verbietet, dass El sich in ein und denselbe Zustand / Ort aufhalten könnte in Gegensatz zu Bosonen.

System MF aufgedehnt bleibt um Überlapp der Wellenfunktion zu verhindern.

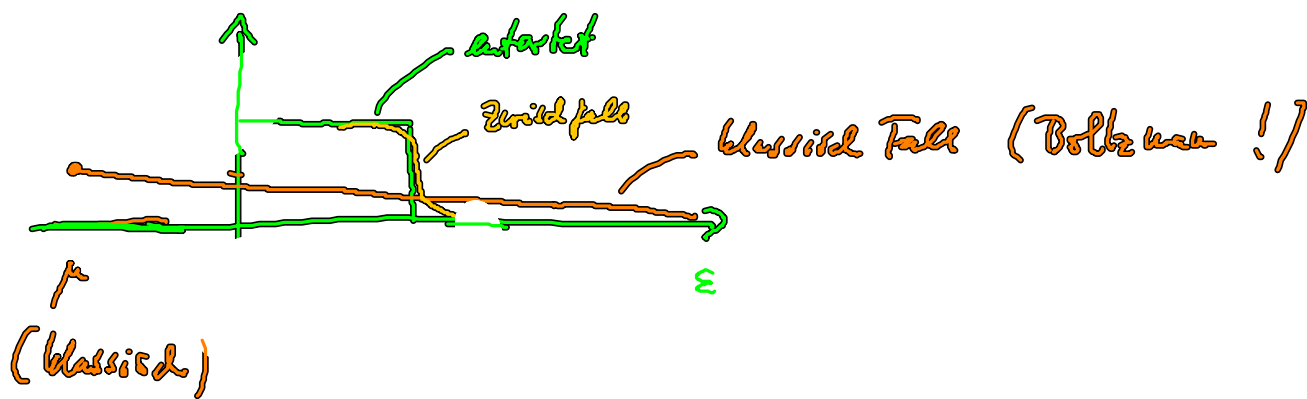
d) Entzündl. / Fülligkeit $E_F \gg kT$

Wann ist ein System kalt

$kT \ll \varepsilon_F$, aber Beobachtung zählt für

$\frac{kT}{\varepsilon_F} = \text{klein!}$ und will unbedingt $T=0$ sein

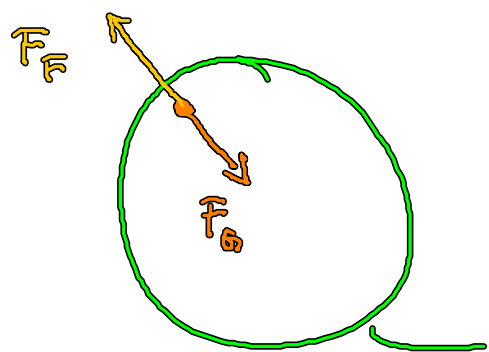
kalte Systeme wo man noch eine sehr starke
Funkts. hat wenn man entartet



Beispiel f. entartet für bei Zimm Temperatur:

Kathode! $\varepsilon_F \approx 10 \text{ eV}$, $kT \approx \frac{1}{40} \text{ eV}$

- e) Himmelskörper im frei gewicht von
Gravitation und Tropendruck?



Stabil im Gleichgewicht von Gravitation und
kinetischer Druck P

Sonne
Neutronensterne
als Remigie

Neutrale Sonne : für die Balzusumme entfällt (nicht erlaubt)
keine gravitationale Kraft kompensiert
 kT ist nicht hoch

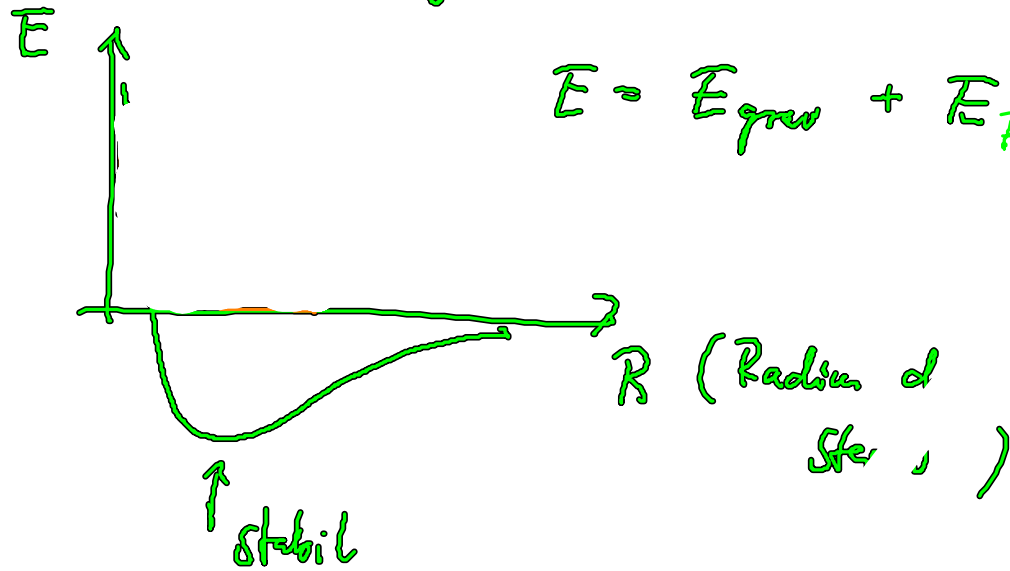
Neutronensterne /

weiße Zwergsterne

(Eldhänger) : für die entfällt weil Dichte so hoch ist und
 $E_F \rightarrow n_e^{2k} \gg kT$

Schliessen als Metall bei
Zimmertemperatur

Jahr zur Bedingung d. Gleichgewichts:



$$E_{\text{Fermi}} \sim u_0^{2/3} \sim +R^{-2}$$

$$E_{\text{grav}} \sim \int d^3r \int d^3r' \frac{u_0(r) u_0(r')}{|\vec{r} - \vec{r}'|} \sim R^{-1}$$

